## T - 32

ヒンジを有する桁の移動荷重による模型実験について

○ 金沢大学工学部 工修 小堀為雄

大阪市役所

日種俊哉

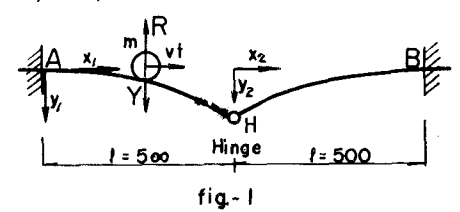
東京急行雷鉄 K.K.

日野長男

## 1. まえがき

本研究は、主として静定連続橋として最も 多く架設されているゲルバー橋や「現在新ら」と表わすことにする。ここで基準函数 先は直 しい工法として採用されつつあるディビダッ交級数系をえらびFig-1に示す.AHぉょびB点 クエ法の橋に見られるような、ヒンジを有すでの境界系件を満足するように決定するとっ る橘析上も移動荷重が走行する場合、この荷ぎのように書きあらわすことが出来る。 重がヒンジを通過する際に橋桁におよぼす衝 名=Gshknx,-cosknx,-dn {Sinhknx,-sinknx,} 撃作用について実験的に解析し、あわせて、| Pan=Coshkn(1-X)-coskn(1-X)-cosh(1-X)-cosh(1-X)-sinkn(1-X)-sinkn(1-X). 理論計算値と比較検討しようとするものであ **う** .

2 移動荷重による桁の振動に関する解析



いま、Fig.-1に示すように桁上をmなる質量となり、一般力 Qjは のボールがひ(Constant) もる速度で走行する場 合のボール中心の動的重直変位丫は、慣性もっざに Ragrange の運動方程式は一般座標 8jを用 考慮して

$$m\frac{d^2Y}{dt^2} = mq - R \qquad (1)$$

として表わすことが出来る。ここに、Rは桁にあらわされ、: が移動荷重におよぼす反力,接言すれば移動 荷重が桁におよぼす力である。いま、移動荷 重が桁から離れることなく移動するものとす|である。 いま(7)式の一般力 及に低式を代入し ればYは析のたわみ曲線の式中の工にびを入し、さらに、計算の便宜上一般座標の3のみと れればよい。そこで桁の動的たわみ曲線をわりってこれを7と書きあらわし – 桁中央点の動 れわれは一般にあらわされるように一般座標にわみについて求めると(7)式は a. および 基準函数名を用いて

$$\begin{cases} f_1 = \sum Q_n \ \varphi_{in} & (E \times N \times) \\ g_2 = \sum Q_n \ \varphi_{2n} & (E \times N \times) \end{cases} \dots \dots (2)$$

$$\begin{array}{ll}
\textit{Pin} = \textit{Coshkn}X_1 - \textit{Coskn}X_2 - \textit{Coshkn}X_1 - \textit{sinkn}X_1 \\
\textit{Pin} = \textit{Coshkn}(I-X_2) - \textit{Coskn}(I-X_2) - \textit{Coshkn}(I-X_2) - \textit{Sinkh}(I-X_2) - \textit{Sinkh}(I-X_2)
\end{array}$$

$$\begin{array}{ll}
\textit{Coshkn}I + \textit{coskn}I
\end{array}$$

 $d_n = \frac{\cosh k_n l + \cos k_n l}{5 \sinh k_n l + \sin k_n l}$ 

この時の振動数方程式は

とはり上段は一端固定他端支持,下段は一端 固定他端自由の棒の振動である

$$R = mg - m\frac{d^2}{dt^2}(\sum g_n \, g_{(n)}) \qquad (5)$$

$$\mathcal{E}_{j} + a_{j} \mathcal{E}_{j} = \frac{g}{\eta A I} \mathcal{O}_{j} \qquad \dots \tag{7}$$

$$a_j = E_0 I \frac{g}{fA} \frac{\int_0^1 \left(\frac{d^2 \Phi_0}{dx_i}\right) dx_i}{\int_0^1 \left(\frac{\Phi_0}{f_i}\right)^2 dx_i}$$

$$\frac{d\eta}{d\xi^2} + P(\xi)\frac{d\eta}{d\xi} + Q(\xi)\eta = R(\xi_1) ....(3)$$

$$P(\xi_i) = \frac{2 \mathcal{R}_i \frac{m_g^2}{\sqrt{M_i^2}} \mathcal{P}_{i,i} \cdot \mathcal{P}_{i,i}}{1 + \frac{m_g^2}{\sqrt{M_i^2}} \mathcal{Q}_{i,i}^2 \mathcal{P}_{i,i} \cdot \mathcal{P}_{i,i}}$$

$$Q(\xi_i) = \frac{Q_i}{U^2} \left( \frac{1 + \frac{m_g^2}{\sqrt{M_i^2}} \mathcal{Q}_{i,i}^2 \mathcal{P}_{i,i} \cdot \mathcal{P}_{i,i}^2}{1 + \frac{m_g^2}{\sqrt{M_i^2}} \mathcal{Q}_{i,i}^2 \mathcal{P}_{i,i}^2 \cdot \mathcal{P}_{i,i}^2} \right)$$

$$R(\boldsymbol{\xi}_{i}) = \frac{\frac{mg^{2}}{\delta A \mathcal{X}} \boldsymbol{\phi}_{i,i}}{V^{2} \left(1 + \frac{mg}{\delta A \mathcal{X}} \boldsymbol{\phi}_{i,i}^{2}\right)}$$

ここで、

m = 0.544 kg, A=7.25 cm2, L=50 cm, J=1.19 x 10-3 5/cm3 V = 200 cm/sec. Q1=P12 /3093. (R.L=1.8751). Ea=4.275×10 189/cm2, X,=0.7341 (R, l=1.8751)

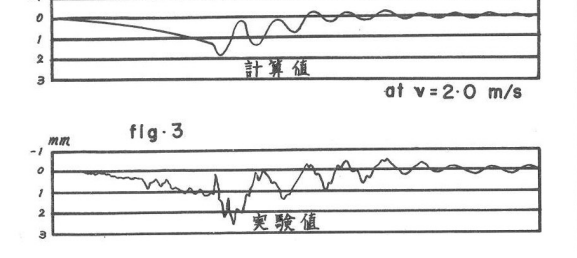
これより Runge-Kutta 法により数値積分を試みた その結果はFig.-3のとうりである。

3. ヒンジでの衝撃作用について

2でのごたようにボールがヒンジを通過す撃係数几の肉係はFig-5のとおりである。 る際にはFig-2で見られるように水平方向にV なる速度に対し重直方向にはVaなる速度で落 下し これがヒンジで逆向の速度 ぴぱんぱるの であるからボールの運動量は MV(La+LB) とな りこれが桁の運動量 Mý と等しいはづである

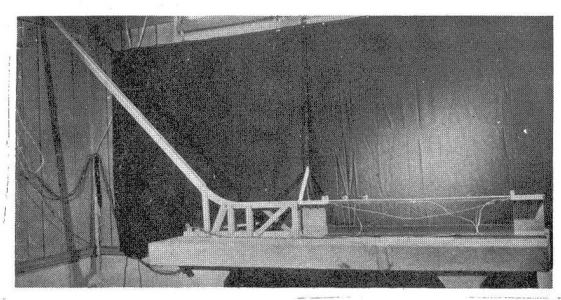
 $\dot{y} = \frac{m v(\dot{l}_A + \dot{l}_B)}{M} = 4.714 \, \text{cm/sec}$ : n &

代入し この場合の解としてりを衝撃力のみ による一般解と移動荷重による特別解との和 として計算値と実験値と比較するとFig-3ッと うりである。これょり計算値は少々小さいよ これはヒンジ間隔等に うであるが、 よる影響が実験値にあらわれたものと考へら れる。なお、本計等では振動次数は)次のみ

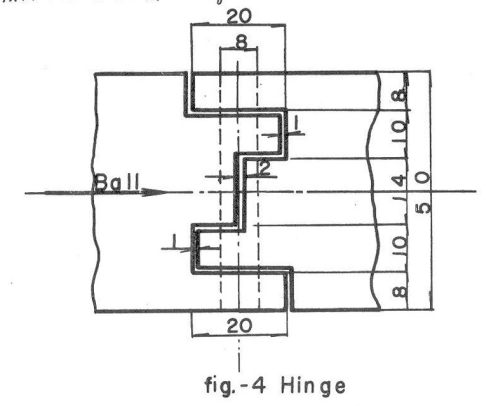


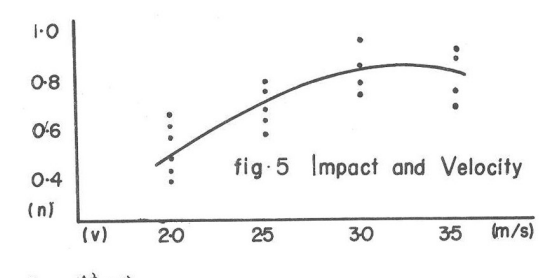
をとったが、後日数次にわたる計算値を求め る計画である。

4、模型実験について 実験装置は写真1のどうりである。



模型桁(L=1.00 m bx h = 15 x 50 mm) 13. 元解析によって縮小した。 ボール速度ひと衝





5 結び

以上 簡単にそのあらましを速べたがこの 種の桁ではヒンジの影響はFig-5に見られるよ うに相当に大きいことが明らかとなった。 なお 承研究に際し御指導下さった京大小 西教授、山田助教授、金大垚内教授に感謝の

意を表する次等であります。